

Montrer par des exemples quelques méthodes de calcul d'intégrales d'une fonction d'une ou plusieurs variables.

236

Cadre : On se place dans un espace mesuré.

I - Méthodes de calcul directes.

I.1. Pour une fonction d'une variable réelle.

A - Primitive

Thm 1 : Toute application continue  $f: [a, b] \rightarrow \mathbb{R}$  admet au moins une primitive  $F$ , et pour toute primitive  $F$  de  $f$ , on a  $\int_a^b f(x) dx = [F]_a^b = F(b) - F(a)$ .

Ex 2 :  $\int \frac{1}{1+x^2} dx = \arctan(b) - \arctan(a)$ ;  $\int_0^1 x^m dx = \frac{1}{m+1}$ ;  $\int_a^b \frac{1}{x} dx = \ln b - \ln a$ .  
(voir Annexe A).

Ex 3 :  $\int \frac{1}{x(x^2+1)^2} dx$  (primitive d'une fraction rationnelle par décomposition en éléments simples).

Ex 4 : polynômes en sinus et cosinus : calcul de  $\int \sin^m x \cos^n x dx$ , avec  $m, n \in \mathbb{N}$ .

B - Changement de variable.

Thm 5 :  $\varphi: [a, b] \rightarrow \mathbb{R}$  une application de classe  $\mathcal{C}^1$  et  $f: I \subset \mathbb{R} \rightarrow E$  ( $I$  intervalle et  $E$  espace de Banach sur  $\mathbb{R}$ ) une application continue telle que  $\varphi([a, b]) \subset I$ . Alors

$$\int_a^b f(\varphi(t)) \varphi'(t) dt = \int_{\varphi(a)}^{\varphi(b)} f(u) du.$$

Rq 6 : Seuls les changements de variable monotones ont un intérêt pratique.

Ex 7 :  $\int_0^a \frac{dx}{\operatorname{ch}(x)} = \operatorname{arctan}(\operatorname{sh}(a))$ .

Ex 8 : polynômes en sinus et cosinus.

Ex 9 :  $\int \frac{\sin^3 x}{1 + \cos^2 x} dx = \cos x - 2 \operatorname{arctan}(\cos x) + k$ ;  $\int_0^{\pi/2} \log(\sin x) dx = -\frac{\pi \log 2}{2}$ .

C - Intégration par parties.

Thm 10 : Soient  $f, g \in \mathcal{C}^1([a, b], \mathbb{K})$  ( $\mathbb{K} = \mathbb{R}$  ou  $\mathbb{C}$ ). La formule d'IPP s'écrit :

$$\int_a^b f g' = [f g]_a^b - \int_a^b f' g$$

Ex 11 :  $\int_0^x \operatorname{arctan}(u) du = x \operatorname{arctan}(x) - \frac{1}{2} \ln(1+x^2)$ ;  $\int_1^{\pi/2} \ln(u) du = x \ln x - x + 1$ .

Ex 12 : Intégrale de Wallis :  $I_n = \int_0^{\pi/2} \sin^n(x) dx \sim \sqrt{\frac{\pi}{2n}}$ ,  $n \in \mathbb{N}$ .

Ex 13 :  $\Gamma(n+1) = n!$  pour tout  $n \in \mathbb{N}^*$  avec  $\Gamma$  fonction Gamma.

I.2. Pour une fonction de plusieurs variables réelles.

A - Changement de variable

Thm 14 : Soient  $U$  et  $V$  deux ouverts de  $\mathbb{R}^n$  avec  $U$  mesurable, et  $\varphi$  un  $\mathcal{C}^1$ -diffeomorphisme de  $U$  sur  $V$ , dont la jacobien  $J(\varphi)$  est borné sur  $U$ . Alors  $V = \varphi(U)$  est mesurable et pour toute fonction continue et bornée  $f: V \rightarrow \mathbb{R}$ , on a

$$\int_V f(v) dv = \int_U f(\varphi(u)) |J(\varphi)(u)| du, \text{ avec } J(\varphi)(u) = \det \left( \frac{\partial \varphi_i}{\partial u_j}(u) \right)_{1 \leq i, j \leq n}$$

App 15 : Passage en coordonnées polaires dans le plan :

$$\iint_D f(x, y) dx dy = \iint_{\Delta} f(r \cos \theta, r \sin \theta) r dr d\theta, (r, \theta) \in \mathbb{R}^+ \times [0, 2\pi[.$$

Rq 16 : On peut aussi décrire le passage en coordonnées polaires dans  $\mathbb{R}^3$ .

B - Fubini.

Thm 17 : (de Fubini) Soient  $(X, \mathcal{A}, \mu)$  et  $(Y, \mathcal{B}, \nu)$  des espaces mesurés. Soit  $f: (X \times Y, \mathcal{A} \otimes \mathcal{B}) \rightarrow \mathbb{R}$  ou  $\mathbb{C}$   $\mu \otimes \nu$ -intégrable, où  $\mu$  et  $\nu$  sont  $\sigma$ -finies. Alors :

$$\int_{X \times Y} f(x, y) (\mu \otimes \nu)(dx, dy) = \int_X \left( \int_Y f(x, y) \nu(dy) \right) \mu(dx) = \int_Y \left( \int_X f(x, y) \mu(dx) \right) \nu(dy).$$

Ex 18 :  $\int_0^{+\infty} e^{-x^2} dx = \frac{\sqrt{\pi}}{2}$  (Intégrale de Gauss)

App 19 : Volume de la boule unité de  $\mathbb{R}^d$  :

$$v_d = \begin{cases} \frac{\pi^{d/2}}{(d/2)!} & \text{si } d \text{ est pair.} \\ \frac{2^d \pi^{d/2} (\frac{d-1}{2})!}{d!} & \text{si } d \text{ est impair.} \end{cases}$$

Ex 20 :  $\int_0^{+\infty} \cos(x^2) dx = \int_0^{+\infty} \sin(x^2) dx = \frac{1}{2} \sqrt{\frac{\pi}{2}}$  (Intégrale de Fresnel) DEV 1  
(Annexe)

II - Utilisation de la convergence et de fonctions auxiliaires.

II.1. Suites et séries de fonctions.

Thm 21 : (Beppo Levi) Soit  $(X, \mathcal{A}, \mu)$  un espace mesuré et  $(f_n)_{n \geq 1}$  une suite croissante de fonctions mesurables positives. Alors

$$\int_X \lim_n f_n d\mu = \lim_n \int_X f_n d\mu \in \overline{\mathbb{R}}_+.$$

Thm 22: (de convergence (bornée)) Soit  $(f_n)$  une suite de fonctions intégrables vérifiant

- pour presque tout  $x$  la suite  $(f_n(x))$  a une limite  $(f(x))$ ,
- il existe une fonction positive intégrable  $g$  telle que, pour tout  $n$  et presque tout  $x$ ,  $|f_n(x)| \leq g(x)$

Alors la fonction  $f$  est intégrable et  $\lim_{n \rightarrow \infty} \int_X f_n d\mu = \int_X f d\mu$ .

Ex 23:  $\lim_{n \rightarrow +\infty} I_n(z) = \int_0^{\infty} (1 - \frac{x}{n})^m e^{-zx} dx$ ,  $m \in \mathbb{N}^*$ , selon les valeurs de  $z \in \mathbb{R}$ .

Thm 24: (Interversion série (intégrale)) Soit  $(\varphi_n)_{n \geq 1}$  une suite de fonctions  $\mu$ -mesurables à valeurs dans  $\mathbb{R}$  ou  $\mathbb{C}$ .

- Si les fonctions  $\varphi_n$  sont positives pour tout  $n \geq 1$ , alors  $\int_X (\sum_{n \geq 1} \varphi_n) d\mu = \sum_{n \geq 1} \int_X \varphi_n d\mu$ .

- Si  $\sum_{n \geq 1} \int_X |\varphi_n| d\mu < +\infty$  alors les fonctions  $\varphi_n$ ,  $\sum_{n \geq 1} |\varphi_n|$  et  $\sum_{n \geq 1} \varphi_n$  (définie  $\mu$ -p.p.) sont  $\mu$ -intégrables. En outre,  $\int_X (\sum_{n \geq 1} \varphi_n) d\mu = \sum_{n \geq 1} \int_X \varphi_n d\mu$ .

Ex 25: Calcul de  $\int_0^{\infty} \frac{\ln(t)}{1+t^2} dt$ .

II. 2. Intégrales à paramètres.  $(X, \mathcal{A}, \mu)$  espace mesuré et  $E$  espace métrique. On considère  $f: E \times X \rightarrow \mathbb{C}$  et on pose  $F(t) = \int f(t, x) d\mu(x)$ .

Thm 26: (Continuité ss le signe  $\int$ ) Supposons que:

- pour  $t$  et  $k \in E$  la fonction  $x \mapsto f(t, x)$  est mesurable
- pour presque tout  $x \in E$  la fonction  $t \mapsto f(t, x)$  est continue sur  $E$ ,
- pour  $t$  compact  $k$  de  $E$  il existe  $g \in L^1$  positive indépendante de  $k$  telle que  $|f(t, x)| \leq g(x)$ ,  $\forall t \in k$ , presque partout en  $x$ . Alors  $F$  est continue sur  $E$ .

Ex 27: continuité de la Transformée de Fourier.

Thm 28: (dérivation ss le signe  $\int$ ) Ici:  $E$  est un intervalle  $I$  ouvert de  $\mathbb{R}$ . On suppose que:

- pour tout  $k \in I$  la fonction  $x \mapsto f(t, x)$  est dans  $L^1(X)$ ,
- pour presque tout  $x$ , la fonction  $t \mapsto f(t, x)$  est dérivable sur  $I$ ,
- pour tout compact  $k$  de  $I$  il existe une fonction  $g \in L^1$  positive indépendante de  $k$ , telle que

$$|\frac{\partial f}{\partial t}(t, x)| \leq g(x), \forall t \in k, \text{ pour presque tout } x. \text{ Alors } F \text{ est dérivable sur } I \text{ et}$$

$$F'(t) = \int \frac{\partial f}{\partial t}(t, x) d\mu(x).$$

Ex 29: Si dans le 2° point on suppose dérivable sur  $I$  par  $\mathcal{C}^1$  sur  $I$ , alors la fonction  $F$  est  $\mathcal{C}^1$  (et on a un résultat analogue pour les dérivées d'ordre supérieur).

Ex 30:  $x \mapsto \Gamma(x)$  est une fonction  $\mathcal{C}^\infty$  sur  $]0, +\infty[$ .

App 31:  $\forall x > 0, \int_0^{+\infty} \frac{\sin(xt)}{t} e^{-t} dt = \arctan(x)$ .

Ex 32:  $f(x) = x^2 e^{-|x|}$ , qui est  $\mathcal{C}^1$ , mais  $F(x) = \int_0^{+\infty} x^2 e^{-t|x|} dt = |x|$  non dérivable en 0.

Ex 33: Intégrale de Dirichlet:  $\int \frac{\sin t}{t} dt = \frac{\pi}{2}$  (via la transformée de Laplace). DEV 2  
(Annexe)

### II. 3. Transformée de Fourier.

Déf 34: On définit la transformée de Fourier d'une fonction  $f$  intégrable sur  $\mathbb{R}$  par

$$\hat{f}(k) = \int_{-\infty}^{+\infty} e^{-itx} f(x) dx.$$

Ex 35:  $f(x) = \frac{1}{2} 1_{(-1,1)}(x)$   $\hat{f}(k) = \frac{\sin k}{k}$ ;  $f(x) = e^{-|x|}$   $\hat{f}(k) = \frac{2}{1+k^2}$ ;

$f(x) = e^{-x^2}$   $\hat{f}(k) = \sqrt{\pi} e^{-k^2/4}$ .

Prop 36:  $f \in L^1(\mathbb{R})$  et  $\hat{f}$  sa transformée de Fourier.

(1) Si  $x \mapsto f$  est intégrable, alors  $\hat{f}$  est dérivable et  $(\hat{f}(k))' = \int_{-\infty}^{+\infty} e^{-itx} (-ix f(x)) dx = -i x \hat{f}$ .

(2) Si  $f$  est de classe  $\mathcal{C}^1$ , et si sa dérivée  $f'$  est intégrable, alors  $\hat{f}'(k) = ik \hat{f}(k)$ .

Thm 37: (d'inversion) Soient  $f$  intégrable et  $\hat{f}$  sa transformée de Fourier. Si  $\hat{f}$  est intégrable,

alors pour presque tout  $x$ ,  $f(x) = \frac{1}{2\pi} \int_{-\infty}^{+\infty} e^{itx} \hat{f}(k) dt$ .

Coro 38:  $\hat{\hat{f}}(x) = 2\pi \cdot f(-x)$ .

Coro 39: La transformation de Fourier est une application injective de  $L^1(\mathbb{R})$  dans  $C_0(\mathbb{R})$

(l'espace des fonctions continues sur  $\mathbb{R}$  à valeurs complexes qui tendent vers 0 à l'infini).

Ex 40:  $f(x) = \frac{1}{1+x^2}$ . Pour tout  $z \in \mathbb{R}$ ,  $\hat{f}(z) = \pi e^{-|z|}$ .

Thm 41: (Formule de Plancherel) Soit  $f \in L^1(\mathbb{R}) \cap L^2(\mathbb{R})$ . Alors  $\hat{f} \in L^2(\mathbb{R})$  et

$$\int_{-\infty}^{+\infty} |f(x)|^2 dx = \frac{1}{2\pi} \int_{-\infty}^{+\infty} |\hat{f}(k)|^2 dk.$$

Pour  $f \in L^1(\mathbb{R}) \cap L^2(\mathbb{R})$ , on pose  $\mathcal{F}f(k) = \frac{1}{\sqrt{2\pi}} \hat{f}(k)$ , appelée transformation de Fourier-Plancherel

elle vérifie  $\|\mathcal{F}f\|_2 = \|f\|_2$ .

Thm 42: (de Plancherel) La transformation de Fourier-Plancherel se prolonge en son isomorphisme isométrique de  $L^2(\mathbb{R})$  sur  $L^2(\mathbb{R})$ .

App 43: Transformée de Fourier de la Gaussienne + Dirichlet

DEV 3  
(Annexe)

### III - Analyse complexe

#### III.1 Théorie de Cauchy, conséquences

Thm 44 (de Cauchy) Soit  $\Omega$  ouvert convexe de  $\mathbb{C}$ ,  $a \in \Omega$ .

Si  $f \in \mathcal{H}(\Omega \setminus \{a\})$  est continue sur  $\Omega$ , alors :

- (1)  $f$  admet une primitive holomorphe sur  $\Omega$
- (2)  $\int_{\gamma} f(z) dz = 0$  pour tout  $\gamma$  lacet tq  $\gamma^* \subset \Omega$ .

Thm 45 (Principe des zéros isolés)  $\Omega \subset \mathbb{C}$  ouvert convexe

Si  $f \in \mathcal{H}(\Omega)$  non nulle,  $Z(f)$  ses zéros. Alors

- (1)  $a \in Z(f)$ ,  $f(z) = (z-a)^k g(z)$  avec  $k \geq 1$  et  $g \in \mathcal{H}(\Omega)$  où  $g(a) \neq 0$
- (2)  $Z(f)$  est au plus dénombrable, et ses points sont isolés dans  $\Omega$ .

Thm 46 (Prolongement analytique)  $\Omega$  convexe

Si  $f = g \in \mathcal{H}(\Omega)$  sur une partie  $E \subset \Omega$  ayant un point d'accumulation dans  $\Omega$ , alors  $f = g$  sur  $\Omega$ .

App 47  $\gamma_a : x \mapsto \frac{e^{-ax^2}}{x}$ ,  $a > 0$ ,  
alors  $\widehat{\gamma}_a(\xi) = e^{-\frac{\xi^2}{4a}} \sqrt{\frac{\pi}{a}}$ .

#### III.2 Résidus

Déf 48 Le résidu de  $f$  en  $a$ , noté  $\text{Res}(f, a)$  est le coefficient  $c_{-1}$  du développement en série de Laurent  $\sum_{n=-\infty}^{\infty} c_n (z-a)^n$  de  $f$  au voisinage de  $a$ .

Thm 49 (des Résidus)  $\Omega$  ouvert convexe de  $\mathbb{C}$ ,  $a_1, \dots, a_n$  points  $\neq a_2$  distincts de  $\Omega$  et  $f \in \mathcal{H}(\Omega \setminus \{a_1, \dots, a_n\})$ , chaque  $a_k$  est un pôle de  $f$ .

Si  $\gamma$  est un lacet dans  $\Omega$  dont l'image ne contient aucun  $a_k$ , alors  $\int_{\gamma} f(z) dz = 2i\pi \sum_{k=1}^n \text{Ind}_{\gamma}(a_k) \text{Res}(f, a_k)$ .

Ex 50 Calcul d'intégrale :  $I_{\alpha} := \int_0^{+\infty} \frac{1}{t^{\alpha}(1+t)} dt = \frac{\pi}{\sin(\pi\alpha)}$   
pour  $0 < \alpha < 1$

App 51 Formule des compléments :  $\Gamma(z) \Gamma(1-z) = \frac{\pi}{\sin(\pi z)}$ ,  $0 < \text{Re}(z) < 1$ . DEV 4 (Erdős)

Ex 52  $\int_0^{+\infty} \text{sinc}(t) dt = \pi/2$ , et  $\int_{\mathbb{R}} \frac{e^{-itx}}{1+t^2} dt = \pi e^{-|x|}$

### IV - Calculs approchés

#### IV.1 Sommes de Riemann

$\rightarrow$  Banach sur  $\mathbb{K}$

Déf 53 Soient  $f: [a, b] \rightarrow E$  bornée,  $\sigma: a = x_0 < x_1 < \dots < x_n = b$  une subdivision de  $[a, b]$ , et  $\xi = (\xi_i)$  une famille de réels,  $\xi_i \in [x_{i-1}, x_i]$

On appelle somme de Riemann de  $f$  pour  $(\sigma, \xi)$  l'élément  $S(f, \sigma, \xi)$  :

$$S(f, \sigma, \xi) = \sum_{i=1}^n (x_i - x_{i-1}) f(\xi_i)$$

Le pas de  $\sigma$  est  $|\sigma| = \sup_{1 \leq i \leq n} (x_i - x_{i-1})$ .

Thm 54 Si  $f$  est intégrable, pour tout  $\varepsilon > 0$ ,  $\exists \alpha > 0$  tq toute subdivision pointée  $(\sigma, \xi)$  de  $[a, b]$  tq  $|\sigma| < \alpha$ , on a :

$$\left| \int_a^b f(x) dx - S(f, \sigma, \xi) \right| \leq \varepsilon$$

#### IV.2 Méthode des rectangles et des trapèzes

Méthode des rectangles : On remplace  $f$  par une fonction constante par morceaux sur chaque segment  $[x_{i-1}, x_i]$ , sur lesquels cette fonction vaut  $f(\xi_i)$ ,  $\xi_i \in [x_{i-1}, x_i]$ .

Alors  $\int_{x_{i-1}}^{x_i} f(x) dx \approx (x_i - x_{i-1}) f(\xi_i)$

Il y a 3 cas :  $\xi_i = x_{i-1}$  (à gauche, cas particulier de sommes de Riemann)

$\xi_i = x_i$  (à droite)

$\xi_i = \frac{x_{i-1} + x_i}{2}$  (au milieu)

$\rightarrow$  Voir annexe C.

App 55  $\frac{b-a}{n} \sum_{k=1}^n f(a + i \frac{b-a}{n}) \xrightarrow{n \rightarrow \infty} \int_a^b f(x) dx$

Ex 56  $\sum_{i=1}^n \frac{1}{n+i} \xrightarrow{n \rightarrow \infty} \ln(2)$  en utilisant  $f: ]0, 1[ \rightarrow \mathbb{R}$   
 $t \mapsto \frac{1}{1+E}$

Méthode des trapèzes : Comme pour les rectangles, mais avec une fonction linéaire par morceaux, qui interpole  $f$  aux points  $x_i$ .  
 $\rightarrow$  Voir annexe C. et  $\int_{x_{i-1}}^{x_i} f(x) dx \approx (x_i - x_{i-1}) \left( \frac{f(x_{i-1}) + f(x_i)}{2} \right)$ .

#### IV.3 Méthode de Monte Carlo

Thm 57 Si  $E(|X|) < +\infty$  ou  $(X_i)$  iid alors  $\frac{\sum_{i=1}^n X_i}{n} \xrightarrow[n \rightarrow \infty]{\text{PS}} E(X)$ .

Méthode Monte Carlo : Calcul de  $I = \int_a^b f(x) dx$  par  $X = f(U)$  où  $U \sim \mathcal{U}_{[0,1]}$   
Si  $E(|X|) < \infty$ , alors  $\bar{X}_n \xrightarrow[n \rightarrow \infty]{\text{PS}} I$  où  $(X_i)$  iid  $\sim X$ , et  $\bar{X}_n = \frac{1}{n} \sum_{i=1}^n X_i$ .

Variante  $I = \int f(x)g(x) dx$ ,  $f \geq 0$  et  $\int f = 1 \Rightarrow f$  est une densité de  $Y$ , et  $I = E(g(Y))$  est approchée par  $(X_i)$  iid  $\sim g(Y)$  :  $\bar{g}(Y)_n \xrightarrow[n \rightarrow \infty]{\text{PS}} I$ .

# ANNEXE (A)

Primitives élémentaires,  $F' = f$ .

$f(x)$	$F(x)$
$x^\alpha, \alpha \neq -1$	$\frac{x^{\alpha+1}}{\alpha+1}$
$\frac{1}{x}$	$\ln( x )$
$e^x$	$e^x$
$\sin(x)$	$-\cos(x)$
$\cos(x)$	$\sin(x)$
$\frac{1}{1+x^2}$	$\arctan(x)$
$\operatorname{ch}(x)$	$\operatorname{sh}(x)$
$\operatorname{sh}(x)$	$\operatorname{ch}(x)$

# ANNEXE (B)

Pour  $0 < \varepsilon < 1 < R$ ,  $\gamma_{\varepsilon, R}$  est le contour fermé délimité par le demi-cercle  $C_\varepsilon := \{ |z| = \varepsilon, \operatorname{Re}(z) < 0 \}$ , les segments  $I_{\varepsilon, R}^\pm := [\pm i\varepsilon; \pm i\varepsilon + \sqrt{R^2 - \varepsilon^2}]$ , et l'arc de cercle  $\Gamma_{\varepsilon, R} := \{ R e^{i\theta}; \theta \in [-\pi, \pi], |\theta| \geq \theta_{\varepsilon, R} \}$ , où  $\theta_{\varepsilon, R} = \arctan\left(\frac{\varepsilon}{\sqrt{R^2 - \varepsilon^2}}\right)$ .

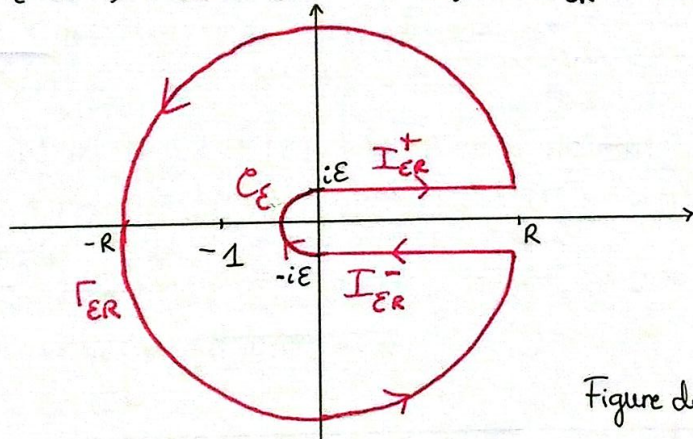
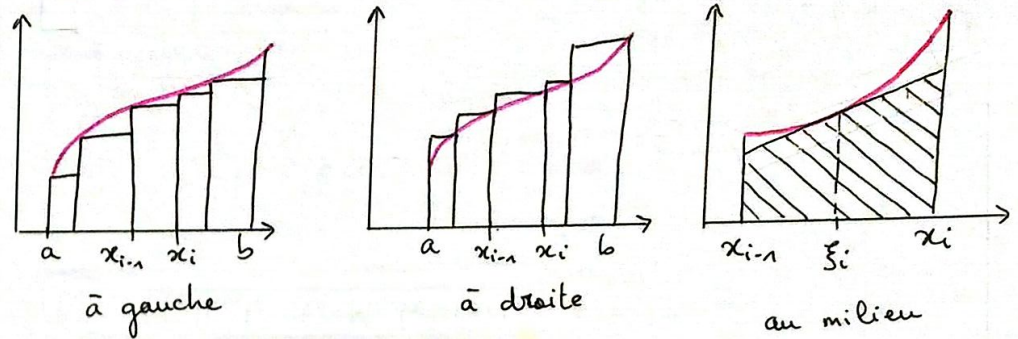


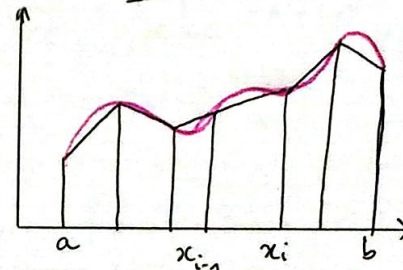
Figure de  $\gamma_{\varepsilon, R}$ .

# ANNEXE (C)

## RECTANGLES



## TRAPÈZES



## RÉFÉRENCES

- Gourdon, Analyse ← (DEV 1)
- Briane-Pagès, Théorie de l'intégration
- Fauraut, Calcul intégral
- Zuilly-Queffelec, Analyse pour l'agrégation
- Queffelec Het M, Analyse complexe
- Amar-Maréthon, Analyse complexe ← (DEV 4)
- Demilly, Analyse numérique et équations diff.
- Toulouse, Thèmes de probas et stats.
- X-ENS, analyse 3 ← (DEV 2)
- Hauchecorne, contre-exemples.
- El Amrani, analyse de Fourier dans les espaces faibles. ← (DEV 3) (scellement)